



БИООРГАНИЧЕСКАЯ ХИМИЯ

том 15 * № 3 * 1989

УДК 577.352(2+332) +547.963.4

13-ЦИС- И ПОЛНОСТЬЮ-ТРАНС-ИЗОМЕРЫ 11,12-ДИДЕГИДРОБАКТЕРИОРОДОПСИНА

Данишина С. В.*, Драчев А. Л., Драчев Л. А.,
Каулен А. Д., Мицнер Б. И.**, Хитрина Л. В.,
Ходонов А. А.**

Межфакультетская проблемная научно-исследовательская лаборатория
молекуллярной биологии и биоорганической химии им. А. Н. Белозерского
МГУ им. М. В. Ломоносова;

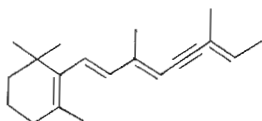
* Институт биологической физики Академии наук СССР,
Пущино Московской обл.;

** Московский институт тонкой химической технологии
им. М. В. Ломоносова

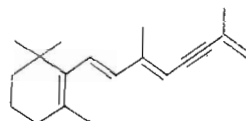
13-цис- и полностью-транс-Изомеры 11,12-дидегидроретиналя образуют с бактериопсином хромопroteиды, вступающие в фотоцикл. Термо- и фотоизомеризация двойной связи при C13 у этих хромопroteидов затруднена по сравнению с бактериородопсином. При освещении полностью-транс-11,12-дидегидробактериородопсина удается непосредственно наблюдать изомеризацию двойной связи при C13. Наряду с этим наблюдается образование формы, отличной от 13-цис-изомера и имеющей фотоцикл, похожий на фотоцикл 13-цис-бактериородопсина. Полностью-транс-11,12-дидегидробактериородопсин обладает протонтранспортной активностью.

Замена ретиналя его синтетическими аналогами является одним из перспективных методов исследования бактериородопсина (см. обзоры [1–3]).

Мы синтезировали 11,12-дидегидроретиналь, аналог ретиналя, содержащий тройную связь при C11 вместо двойной, что уменьшает длину полиновой цепи и изменяет пространственное расположение C1–C11-фрагмента относительно концевого участка цепи. У хромопroteидов, полученных из бактериопсина и полностью-транс- и 13-цис-изомеров 11,12-дидегидроретиналя, исследована изомеризация двойной связи при C13, а также особенности фотохимического цикла и фотоэлектрических ответов. Ранее в группе Остерхельта. [4] был получен 7,8-дидегидробактериородопсин, сохранивший около половины протонтранспортной активности бактериородопсина. При экстракции 7,8-дидегидроретиналя из этого хромопroteида, адаптированного к свету или к темноте, доля полностью-транс-изомера составляла 70–90 %.



(Ia) R = CH₂OH
(IIa) R = CHO



(Ib) R = CH₂OH
(IIb) R = CHO

Изомерные полиенали (IIa) и (IIb) образуют с бактериопсином хромопroteиды (таблица). Полученные препараты стабильны. Судя по положению максимумов поглощения и быстрой кинетике фотоиндукционных оптических изменений, при их хранении в темноте при 3–5°C за 1 сут

Принятые сокращения: MES – N-морфолиноэтансульфоновая кислота.

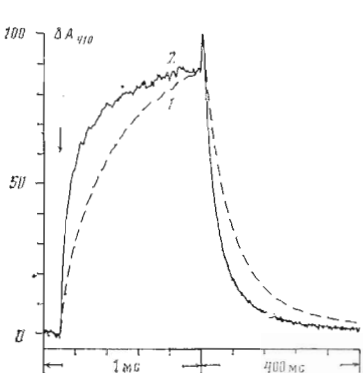


Рис. 1

Рис. 1. Изменения поглощения при 410 нм (ΔA_{410}) после освещения бактериородопсина (1) (предварительно адаптирован к свету) и полностью-транс-11,12-дидегидробактериородопсина (2) лазерной вспышкой ($\lambda=532$ нм, $t_{1/2}=15$ нс, энергия в зеленом световом импульсе 50 мДж). Максимальная амплитуда фотоответа принята за 100%. Среда инкубации – 100 мМ NaCl, 5 мМ MES, pH 6,0 (6°C)

Рис. 2. Генерация разности электрических потенциалов бактериородопсином (1) (предварительно адаптирован к свету) и полностью-транс-11,12-дидегидробактериородопсином (2) в ответ на вспышку энергией 15 мДж. Ассоциацию с коллондевой пленкой, пропитанной декановым раствором лецитина (70 мг/мл), содержащим октадециламин (0,5 мг/мл), и последующие измерения проводили при 9°C (среда – см. подпись к рис. 1)

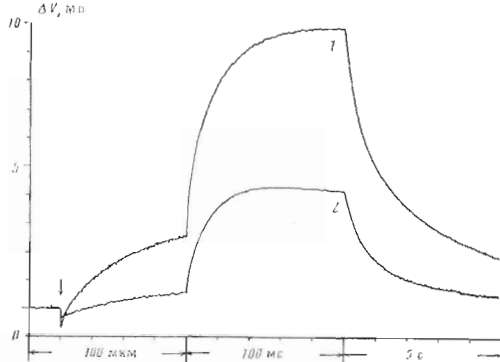


Рис. 2

заметной изомеризации не происходит. В фотоцикле хромопротеида, полученного инкубацией бактериопсиновых мембран и полностью-транс-11,12-дидегидроретиналя, участвует интермедиат, который по спектральным характеристикам, времени жизни и уровню накопления близок к промежуточной форме M , известной для бактериородопсина (рис. 1). Фотоэлектрические ответы этого хромопротеида в мембранах, ассоциированных с коллондевой пленкой, пропитанной раствором лецитина в декане (рис. 2), свидетельствуют о существовании у него протонтранспортной активности, причем по кинетике генерации разности электрических потенциалов в ответ на вспышку он близок к бактериородопсину (ср. [5, 6]).

Минимум на дифференциальном спектре, отражающем фотоиндуцированные изменения полностью-транс-изомера 11,12-дидегидробактериородопсина, совпадает по положению с максимумом поглощения этого хромопротеида (рис. 3). Коротковолновый интермедиат типа M является основным компонентом его фотоцикла, наблюдаемым спустя несколько микросекунд после вспышки. Интермедиат, кинетически близкий к известной для бактериородопсина форме O_{410} , у этого хромопротеида мы не наблюдали.

При освещении вспышкой 13-*cis*-изомера 11,12-дидегидробактериородопсина отрицательная полоса в дифференциальном спектре по амплитуде

Максимумы α -полос альдегидов * (λ , нм), их шиффовых оснований с *n*-бутиламино (SB) *, протонированных шиффовых оснований (SBH⁺) ** и хромопротеинов, образованных этими альдегидами с бактериопсином ***

Соединение	Альдегид	SB	SBH ⁺	Хромопротеин
полностью-транс-Ретиналь (IIα)	380 364 358	360 343 347	440 418 417	568 539 519
(IIβ)				

* Метанол.

** 0,1 М HCl в метаноле.

*** 100 мМ NaCl, 5 мМ MES, pH 6,0.

меньше, чем у *полностью-транс*-изомера, и сдвинута в коротковолновую область относительно максимума поглощения (рис. 3), что обусловлено образованием не менее двух длинноволновых интермедиатов (рис. 3). Скорость образования первого находится за пределами достигнутого временного разрешения (рис. 4, 1), тогда как второй при комнатной температуре возникает за миллисекунды. Время релаксации прироста оптической плотности в длинноволновой области заметно превышает время жизни интермедиата М. Дифференциальный максимум, отвечающий первому длинноволновому интермедиату, расположен при ~ 575 нм, а второму — при ~ 590 нм. Кривые 1 на рис. 4 и 5 отражают изменения их вкладов в поглощение при разных длинах волн (на рис. 4 и 5 в пробах различается количество белка).

В фотоцикле 13-*цис*-11,12-дидегидробактериородопсина при pH 6–7 интермедиат М отсутствует; во всяком случае изменение поглощения при 410 нм исчезает по мере очистки исходного альдегида. Приведенные на рис. 4 данные относятся к препаратам, полученным из 13-*цис*-альдегида (Пб) после его четырехкратной хроматографической очистки. В растворах низкой ионной силы прирост оптической плотности в длинноволновой области (560–650 нм) соответствует поглощению протонов из внешней среды; при повышении ионной силы наблюдается выброс протонов, связанный с образованием интермедиата М из примеси *полностью-транс*-изомера (ср. кривые 3 и 4 на рис. 4). Можно думать, что этот эффект обусловлен диссоциацией групп, непосредственно не участвующих в переносе протона.

Как уже отмечалось, темновая изомеризация двойной связи при C13 в 11,12-дидегидробактериородопсине сильно замедлена. Свидетельствующие о такой изомеризации незначительные изменения быстрой кинетики фотондуцированных спектральных изменений наблюдаются лишь спустя несколько суток при 3–5°C (pH 6). Предварительное освещение 13-*цис*-изомера хромопroteида галогенной лампой (100 Вт, тепловой фильтр — 2 см 5% раствора CuSO₄) увеличивает амплитуду интермедиата М и изменения основной полосы поглощения, индуцируемые последующей вспышкой. У *полностью-транс*-11,12-дидегидробактериородопсина предварительное освещение приводит к противоположным результатам. Кроме того, непрерывное освещение приводит к батохромному сдвигу и увеличению амплитуды полосы поглощения у 13-*цис*-хромопroteида и к противоположным изменениям в спектре *полностью-транс*-хромопroteида. Близи равновесия фотоизомеризации амплитуда полосы поглощения интермедиата М составляет $\sim 85\%$ от величины, характерной для исходного препарата *полностью-транс*-11,12-дидегидробактериородопсина. Эта равновесная амплитуда одинакова после освещения для обоих изомерных хромопroteидов. Величина $t_{1/2}$, характеризующая установление равновесия фотоизомеризации, также одинакова и при 6°C составляет ~ 6 мин (фотостационарное состояние устанавливается не менее чем за 40 мин), что на два порядка превышает $t_{1/2}$ при адаптации к свету самого бактериородопсина (при условии, что последний получен рекомбинацией апомембран с ретиналом).

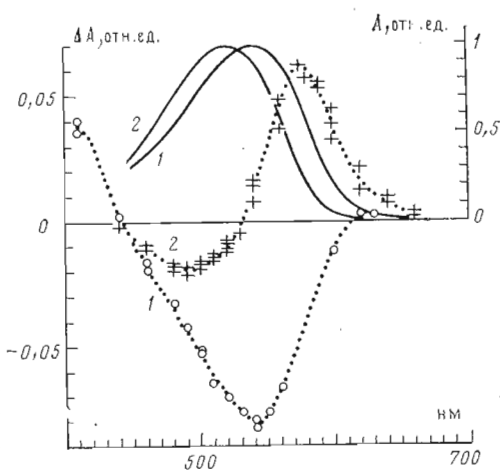


Рис. 3. Спектры поглощения (сплошные линии; сняты против суспензии апомембран) и фотондуцированные дифференциальные спектры *полностью-транс*-11,12-дидегидробактериородопсина (1) и его 13-*цис*-изомера (2) через 0,7 мс после вспышки (пунктирные линии) (условия — см. подпись к рис. 1). Амплитуда полос в спектрах поглощения принята равной 1

На рис. 4 и 5 приведены спектры поглощения, снятые в течение 0,7 мс после вспышки, для 13-*цис*-альдегида (Пб) и для препарата, полученного из него после четырехкратной хроматографической очистки. Кривые 1 на рис. 4 и 5 отражают изменения вкладов в поглощение при разных длинах волн (на рис. 4 и 5 в пробах различается количество белка).

На рис. 4 и 5 приведены спектры поглощения, снятые в течение 0,7 мс после вспышки, для 13-*цис*-альдегида (Пб) и для препарата, полученного из него после четырехкратной хроматографической очистки. Кривые 1 на рис. 4 и 5 отражают изменения вкладов в поглощение при разных длинах волн (на рис. 4 и 5 в пробах различается количество белка).

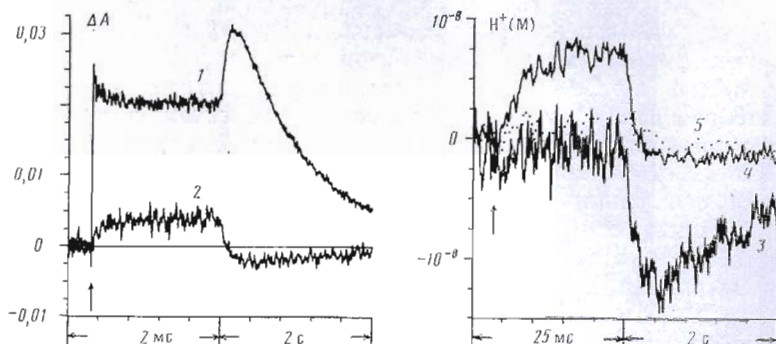


Рис. 4. Изменения оптической плотности при 580 нм (1) и 440 нм (2), а также изменения pH (3–5) при освещении 13-цис-11,12-дидегидробактериородопсина (1–4) и апомембраны (5) лазерной вспышкой (15 мДж) при 1°C. Среды инкубации: 1, 2 – 100 мМ NaCl, 5 мМ MES, pH 6,0; 3 – 20 мКМ фосфат калия, pH 6,9; 4, 5 – 20 мКМ фосфат калия, 100 мМ NaCl, pH 6,9. При регистрации pH измеряли оптическую плотность при 455 нм после добавления 5 мКМ пиронина

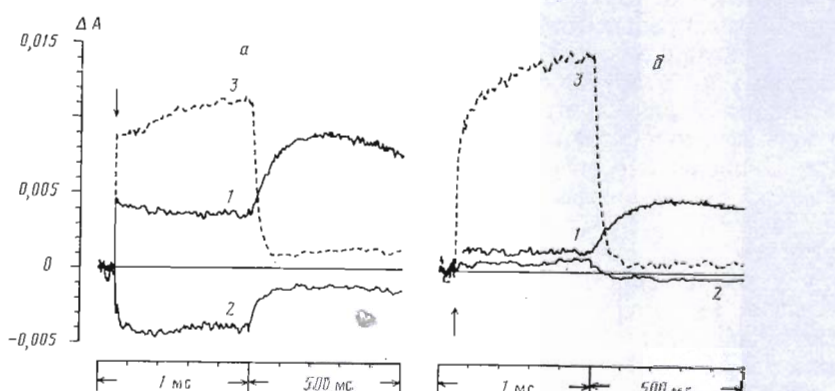


Рис. 5. Изменения оптической плотности при 600 нм (а) и 620 (б) после освещения лазерной вспышкой (15 мДж) 13-цис-11,12-дидегидробактериородопсина (1) и полностью-транс-11,12-дидегидробактериородопсина (2). Кривая 3 в отличие от кривой 2 получена после предварительного освещения препарата 15 вспышками (среда – см. подпись к рис. 1)

Итак, при освещении полностью-транс-11,12-дидегидробактериородопсина наблюдается изомеризация двойной связи при C13. Наряду с этим 11,12-дидегидробактериородопсин при освещении превращается в форму, фотоцикл которой отличен от фотоциклов полностью-транс- и 13-цис-форм. Сравнение фотоответов при разных длинах волн показывает, что в этом фотоцикле присутствует более чем один длинноволновый интермедиат (рис. 5). Судя по фотоответам, регистрируемым при разных длинах волн, полностью-транс-11,12-дидегидробактериородопсин на свету превращается по меньшей мере в две формы. Если при освещении постоянным светом преобладает накопление 13-цис-изомера, то под действием 5–15 лазерных вспышек ($\lambda=532$ нм, $t_h=15$ нс) главным продуктом оказывается другая форма.

Отчетливое присутствие в фотоцикле этой формы длинноволновых интермедиатов сближает его с фотоциклом 13-цис-бактериородопсина и его аналогов, содержащих остатки 13-цис-полиеналей. Хотя нельзя полностью исключить сохранение полностью-транс-конфигурации хромофора при образовании этой формы, более вероятна его фотоизомеризация по какой-либо из двойных C=C- или же по C=N-связи. Если это так, то налицо первый случай, когда обнаружен фотоцикл у аналога бактериородопсина, отличающегося конфигурацией двойной связи не при C13-атоме.

Затруднения изомеризации и полностью-транс- \rightarrow 13-цис-фотоизомеризацию наблюдали ранее при замене β -иононового кольца на фенильное или при введении 4-кетогруппы [7–9]. Для природного бактериородопсина полностью-транс- \rightarrow 13-цис-фотоизомеризация была обнаружена в пленках пурпурных мембран при пониженной влажности [10].

Экспериментальная часть

Измерения фотоиндуцированных изменений pH выполняли согласно работам [11–13]. Другие методы исследования хромопротеидов также подробно описаны нами ранее [8]. Все оптические измерения проводили в режиме одиночных всасываний без накопления. При построении фотоиндуцированных дифференциальных спектров каждой длине волн отвечала новая проба. Мембранны, содержащие бактериородопсин и хромопротеиды с остатками изомерных 11,12-дидегидроретиналей, получали из соответствующих альдегидов и бактериоопсиновых мембран (апомембран). Такие мембранны для краткости называют бактериородопсином и хромопротеидами.

Исходные полностью-транс- и 13-цис-изомеры 11,12-дидегидроретинала (Ia, б) синтезировали по методикам, опубликованным ранее [14, 15]. Их физико-химические и спектральные характеристики полностью соответствовали литературным данным [14–16].

полностью-транс-11,12-Дидегидроретиналь (IIa). К раствору 0,45 г спирта (Ia) в 50 мл пентана при перемешивании и 20°C в атмосфере аргона и темноте добавляли 2,5 г активного диоксида марганца и продолжали перемешивание 2 ч. Окислитель отделяли фильтрованием через слой оксида алюминия (IV степени активности по Брокману), промывали 100 мл пентана, из объединенных фильтров удаляли растворитель. Выход желтого масла 0,39 г (87%). ИК-спектр (пленка, ν, см⁻¹): 2745 сл., 1663 с. (—CHO), 2160 с. (C≡C), 1600 с., 965 с. (CH=CH). УФ-спектр, λ_{макс}, нм (ε), CH₃OH: 220 (10 600), 243 (10 100), 290 плечо (12 600), 364 (26 100). ПМР-спектр (δ, м. д.): 10,02 (1H, д, J 8,2 Гц, 15-H); 6,38 (1H, д, J 16 Гц, 7-H); 6,195 (1H, д, кв, J 8,2 и 1,5 Гц, 14-H); 6,15 (1H, д, J 16 Гц, 8-H); 5,59 (1H, с, 10-H); 2,34 (3H, д, J 1,5 Гц, 13-CH₃); 2,09 (3H, д, J 1,0 Гц, 9-CH₃); 2,05 (2H, м, 4-CH₂); 1,70 (3H, д, J 0,7 Гц, 5-CH₃); 1,6 и 1,48 (2H, м, 3- и 2-CH₂); 1,02 (6H, с, 1,1'-CH₃).

13-цис-11,12-Дидегидроретиналь (IIб) получен аналогично соединению (IIa) из 0,6 г спирта (Iб) и 4,0 г активного диоксида марганца. Выход желтого масла 0,47 г (79%). ИК-спектр (пленка, ν, см⁻¹): 2735 сл., 1670 с. (—CHO), 2150 с. (C≡C), 1590 с. (CH=CH). УФ-спектр, λ_{макс}, нм (ε), CH₃OH: 220 (12 000), 246 (13 000), 288 плечо (12 500), 357,5 (20 300). ПМР-спектр (δ, м. д.): 10,105 (1H, д, J 8,2 Гц, 15-H); 6,41 (1H, д, J 16,5 Гц, 7-H); 6,19 (1H, д, J 16,5 Гц, 8-H); 6,16 (1H, д, кв, J 8,2 и 1,5 Гц, 14-H); 5,64 (1H, с, 10-H); 2,20 (3H, д, J 1,5 Гц, 13-CH₃); 2,13 (3H, д, J 1,0 Гц, 9-CH₃); 2,05 (2H, м, 4-CH₂); 1,74 (3H, д, J 0,7 Гц, 5-CH₃); 1,63 и 1,48 (2H, м, 3- и 2-CH₂); 1,05 (6H, с, 1,1'-CH₃).

Альдимины изомерных дегидроретиналей с *n*-бутиламином синтезировали стандартным методом в присутствии молекулярных сит 3 Å.

ЛИТЕРАТУРА

1. Мицнер Б. И., Ходонов А. А., Зеонкова Е. Н., Евстигнеева Р. П. // Биоорган. химия. 1986. Т. 12. № 1. С. 5–53.
2. Драчев А. Л., Драчев Л. А., Евстигнеева Р. П., Каулен А. Д., Лазорова Ц. Р., Лайхтер А. А., Мицнер Б. И., Скулачев В. П., Хитрина Л. В., Чекулаева Л. Н. // Биол. мембранны. 1984. Т. 1. № 11. С. 1125–1142.
3. Stoeckenius W., Lozier R. H., Bogomolni R. A. // Biochim. et biophys. acta. 1979. V. 505. № 3–4. P. 215–278.
4. Gärtner W., Oesterhelt D., Seifer-Schiller E., Towner P., Hopf H., Böhm I. // J. Amer Chem. Soc. 1984. V. 106. № 19. P. 5654–5659.
5. Драчев Л. А., Каулен А. Д., Скулачев В. П., Хитрина Л. В., Чекулаева Л. Н. // Биохимия. 1981. Т. 46. № 6. С. 998–1005.

6. Drachev L. A., Kaulen A. D., Khitrina L. V., Skulachev V. P. // Eur. J. Biochem. 1981. V. 117. № 3. P. 461–470.
7. Maeda A., Asato A. E., Liu R. S., Yoshizawa T. // Biochemistry. 1984. V. 23. № 11. P. 2507–2513.
8. Драчев Л. А., Зорина В. В., Мицнер Б. И., Хитрина Л. В., Ходонов А. А., Чекулаева Л. Н. // Биохимия. 1987. Т. 52. № 9. С. 1559–1569.
9. Хитрина Л. В., Даншина С. В., Драчев А. Л., Драчев Л. А., Каулен А. Д., Лазорова Ц. Р., Зорина В. В. // Тез. докл. Междунар. конф. «Ретинопальмодергандие белки». Иркутск АН СССР – FEBS, 1986. С. 81.
10. Коуатама Т., Bogomolni R. A., Stoeckenius W. // Biochem. J. 1985. V. 48. № 2. P. 201–208.
11. Drachev L. A., Kaulen A. D., Skulachev V. P. // FEBS Lett. 1984. V. 178. № 2. P. 331–335.
12. Драчев Л. А., Каулен А. Д., Скулачев В. П. // Докл. АН СССР. 1985. Т. 281. С. 176–180.
13. Dencher N. A., Burghaus P. A., Grzesiek S. // Proceeding of the Symposium of light-sensitive proteins/Ed. Ovchinnikov Yu. A. Utrecht, The Netherlands: VNU Science Press, 1987. P. 217–230.
14. Ходонов А. А., Первушина Е. А., Мицнер Б. И., Звонкова Е. Н., Естественность Р. П. // Биоорганическая химия. 1984. Т. 10. № 3. С. 408–414.
15. Ходонов А. А., Ткачевская Е. М., Мицнер Б. И., Звонкова Е. Н. // Биоорганическая химия. 1984. Т. 10. № 10. С. 1409–1413.
16. Olive J.-L., Mousseron-Ganet M., Domard J. // Bull. Soc. chim. France. 1969. № 9. P. 3247–3252.

Поступила в редакцию
15.III.1988

11,12-DIDEHYDRORETINAL-CONTAINING ALL-*TRANS*- AND 13-*CIS*-ANALOGUES OF BACTERIORHODOPSIN

DANSHINA S. V., DRACHEV A. L.*; DRACHEV L. A.*; KAULEN A. D.*; MITSNER B. I.**, KHITRINA L. V.*; KHODONOV A. A.**

*Institute of Biological Physics, Academy of Sciences of the USSR,
Pushchino, Moscow Region;*

** A. N. Belozersky Laboratory of Molecular Biology and Bioorganic Chemistry,
M. V. Lomonosov Moscow State University;*

*** M. V. Lomonosov Institute of Chemical Technology, Moscow*

13-*cis*- and *all-trans*-Isomers of 11,12-didehydroretinal form, with bacteriorhodopsin, chromoproteins, which are capable of photocycling. The chromoproteins exhibit more hindered 13-*cis*→*all-trans*- thermal and photoisomerization in comparison with the natural bacteriorhodopsin and undergo *all-trans*→13-*cis*- photoisomerization. Kinetic studies indicated also the presence of a novel photoactive *cis*-like form. 11,12-Didehydrobacteriorhodopsin has considerable proton pump activity.